# Vicinale Aminoalkohole

(R,S)-Norephedrine

(S,S)-Pseudoephedrine

 $\bar{N}H_2$ (S,S)-DPEN

(S,S)-DPAE

Strukturen: Aminosäuren und Naturstoffe

Alkaloide: Ephedrine, β-Hydroxy-Aminosäuren (Thr, Ser, Hyp), Aminozucker (Deoxynojirimycin)

Chinin und Derivate: (DHQ)2PHAL

Sphingosine uvm...

**Bedeutung**: Medikamente und Liganden

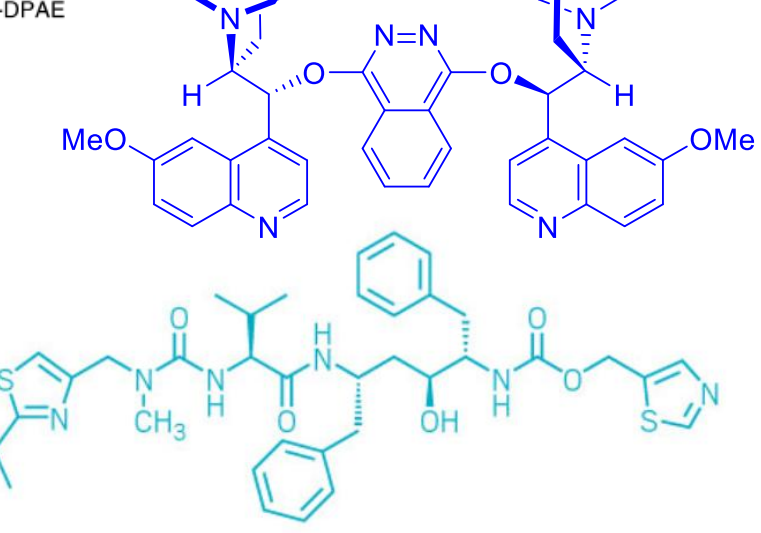
Asymmetrische Dihydroxylierung Asym. Transferhydrierung (Noyori) Drugs: z.B. Ritonavir (rechts in blau)

### **Synthese**

HO 
$$O_2H$$
 a  $O_2Me$  b  $O_2Me$  c  $O_$ 

Konfiguration und Konformation

Stereo- und Regioisomere



# The history of olefin dihydroxylation

### **Ligand acceleration**

Rudolf Criegee, Marburg *Liebigs Ann. Chem.* **1936**, 75.

### Catalytic amounts of OsO<sub>4</sub>

### **Upjohn dihydroxylation**

Upjohn Company, USA 1976

$$\begin{array}{c} \longrightarrow \\ & \stackrel{\text{OsO}_4 (1\%)}{\longrightarrow} \\ & \stackrel{\text{HO}}{\longrightarrow} \\ & \stackrel{\text{OH}}{\longrightarrow} \\ & \stackrel{\text{OH}}{$$

### **Asymmetric dihydroxylation**

### Barry Sharpless, 1980

Chem. Rev. 1994, 2483.

# $\begin{array}{c} \text{AD-mix} \ \alpha \\ \text{(DHQ)}_2\text{PHAL} \\ \text{MeO} \\ \end{array}$

# OC-7

### **Asymmetric aminohydroxylation**

#### **Chloramine-T**

Li, G.; Chang, H.; Sharpless, K. B. *ACIE* 1996, 453.

R= Ph, CH<sub>3</sub>, CO<sub>2</sub>CH<sub>3</sub>

(DHQ)<sub>2</sub>PHAL (5%) K<sub>2</sub>OsO<sub>2</sub>(OH)<sub>4</sub> (4%) CH<sub>3</sub>CN/H<sub>2</sub>O (1:1) rt, 3 h

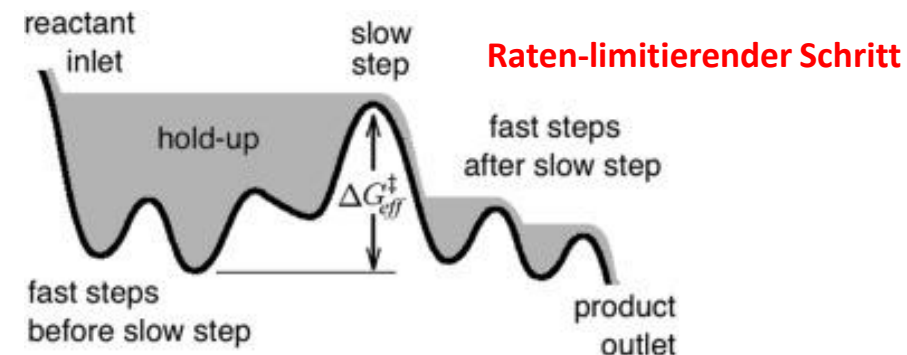
74-81% ee 52-65% yield

A. Geyer OC 2025

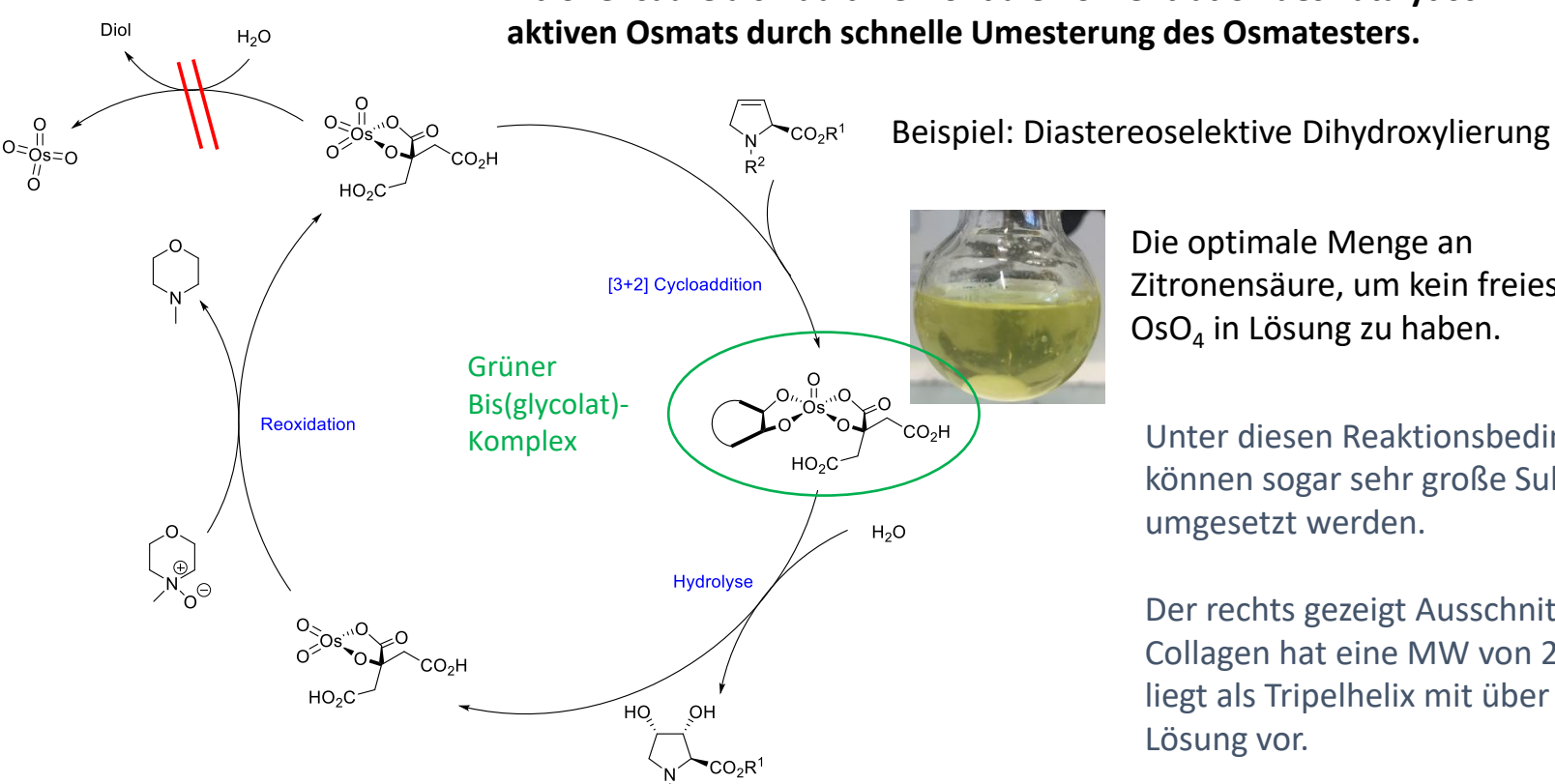
ÑHSO<sub>2</sub>p-tol

### Erinnern Sie sich an das rechte Bild in den Folien zu reaktiven Zwischenstufen (rechts)?

Will am eine Reaktion verbessern, dann muss man den langsamsten Rk-Schritt identifizieren. Dort liegt das größte Potential der Optimierung. Bei der Dihydroxylierung ist das die Hydrolyse des Osmatesters, der td stabilsten Zwischenstufe.



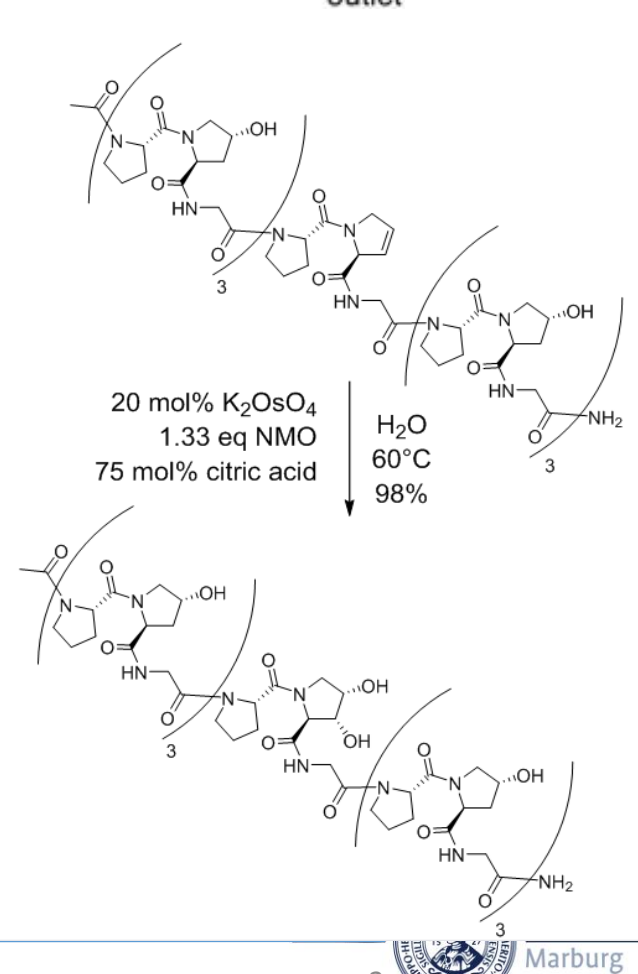
### Zitronensäure als Additiv erhöht die Konzentration des katalytisch aktiven Osmats durch schnelle Umesterung des Osmatesters.



Die optimale Menge an Zitronensäure, um kein freies OsO₄ in Lösung zu haben.

Unter diesen Reaktionsbedingungen können sogar sehr große Substrate umgesetzt werden.

Der rechts gezeigt Ausschnitt aus Collagen hat eine MW von 2,5 kD und liegt als Tripelhelix mit über 7,5 kD in Lösung vor.



# **β-Hydroxy-Aminosäuren**

Häufig enthalten diese **Peptidantibiotika** β-hydroxylierte Aminosäuren, welche die konformationelle Beweglichkeit des Peptids einschränken. Heute: Laborsynthese  $\beta$ -hydroxylierter Aminosäuren am Beispiel von  $\beta$ -Hydroxy-D-Leucin.

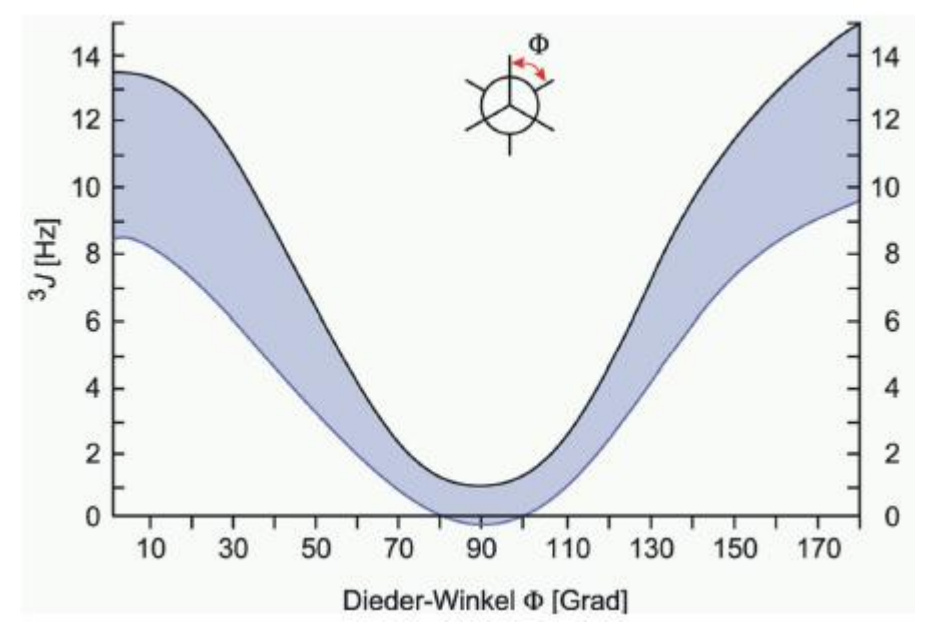
Phenylacetic acid (3S)-3-hydroxy-D-Leu L-Va p-Ala L-Phe L-Ala Gly

$$^{3}J_{H8-H31} = 2 \text{ Hz}$$
  
 $^{2}J_{C31-H8} < 2 \text{ Hz}$   
 $^{3}J_{C7-H31} < 2 \text{ Hz}$ 

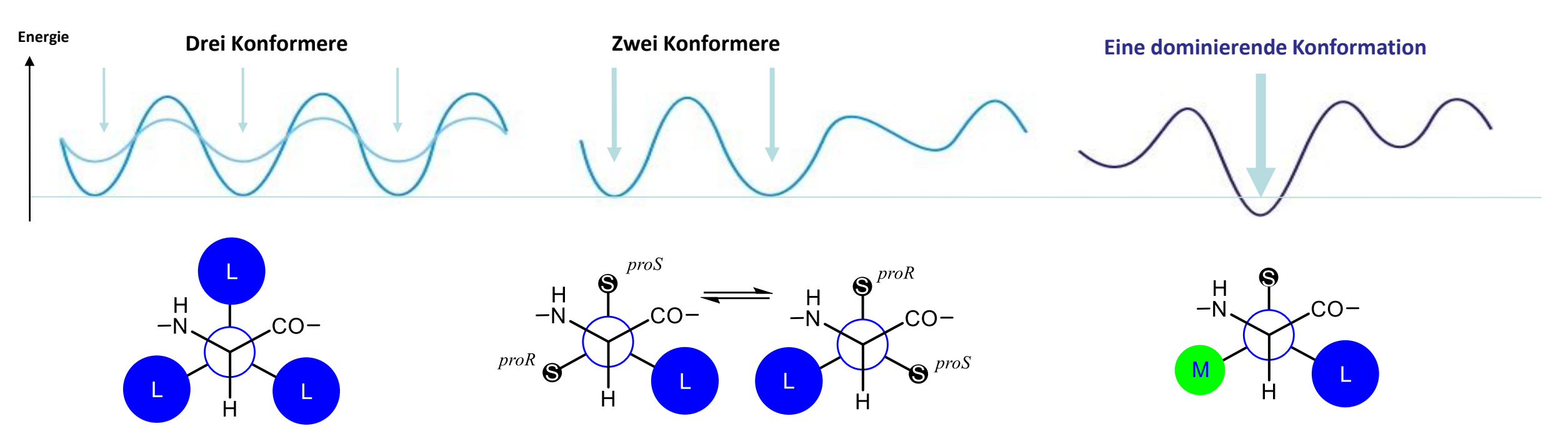
$$^{2}J_{C31-H8}$$
 < 2 Hz

$$^{3}J_{C7-H31}$$
 < 2 Hz

Den Zusammenhang zwischen <sup>3</sup>J-Kopplung und Torsionswinkel beschreibt die Karplus-Conroy-Beziehung:  ${}^{3}J = A \cos^{2}\phi + B \cos\phi + C$ 



### Energieprofile $\beta$ -verzweigter Aminosäuren zeigen ein Hauptkonformer



Drei gleich große Substituenten an  $C\beta$  haben immer eine geringe Rotationsbarriere (GZ-Anhebung!)

Ala, t-Leu

Eine substituierte Methylengruppe zeigt häufig Mittelung zwischen energie-ähnlichen Konformeren

Die meisten Aminosäuren fallen in diese Gruppe: Phe, Leu etc...

Viele Peptid-Naturstoffe und Peptid-Wirkstoffe haben drei unterschiedlich große Substituenten an Cβ.

 $\beta$ -Hydroxy  $\alpha$ -Aminosäuren: Ile, Thr etc...

